



LYCÉE LA MARTINIÈRE MONPLAISIR LYON

SCIENCES INDUSTRIELLES POUR L'INGÉNIEUR

CLASSE PRÉPARATOIRE M.P.S.I.

ANNÉE 2017 - 2018

C4 : MODÉLISATION CINÉMATIQUES DES SYSTÈMES COMPOSÉS DE CHAINES DE SOLIDES

TD 10 - Modélisation cinématique des liaisons mécaniques(C4-5)

Compétences

- **Modéliser** : Proposer un modèle de connaissance et de comportement :
 - Solide indéformable;
 - référentiel, repère;
 - équivalence solide/référentiel;
 - vecteur-vitesse angulaire de deux référentiels en mouvement l'un par rapport à l'autre";
- **Résoudre** : Proposer un modèle de connaissance et de comportement
 - Torseur cinématique;
 - Liaisons.

1 Souris mécanique

On se propose d'étudier le fonctionnement d'une souris mécanique associée à un ordinateur (figure 1).

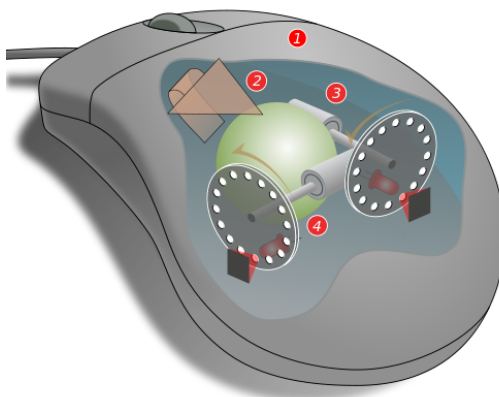


FIGURE 1 – Dessin du mécanisme d'une souris de micro-ordinateur.

L'ensemble des paramétrage indiqués ci-dessous font référence à la figure 2.

- Le plan de travail (0) est lié au repère $R_0 = (O, \vec{x}_0, \vec{y}_0, \vec{z}_0)$.
- Le cadre lié à la souris porte le numéro (1). On lui lie un repère $R_1 = (C, \vec{x}_1, \vec{y}_1, \vec{z}_1)$.
- En fonctionnement normal, la bille (2) de rayon R **roule sans glisser** sur le plan (0). On note I le point de contact avec le sol (0).
- Le galet (3), de rayon a est en liaison pivot d'axe (L, \vec{y}_1) , avec le cadre (1).
- Le galet (4), de rayon a est en liaison pivot d'axe (M, \vec{x}_1) , avec le cadre (1).

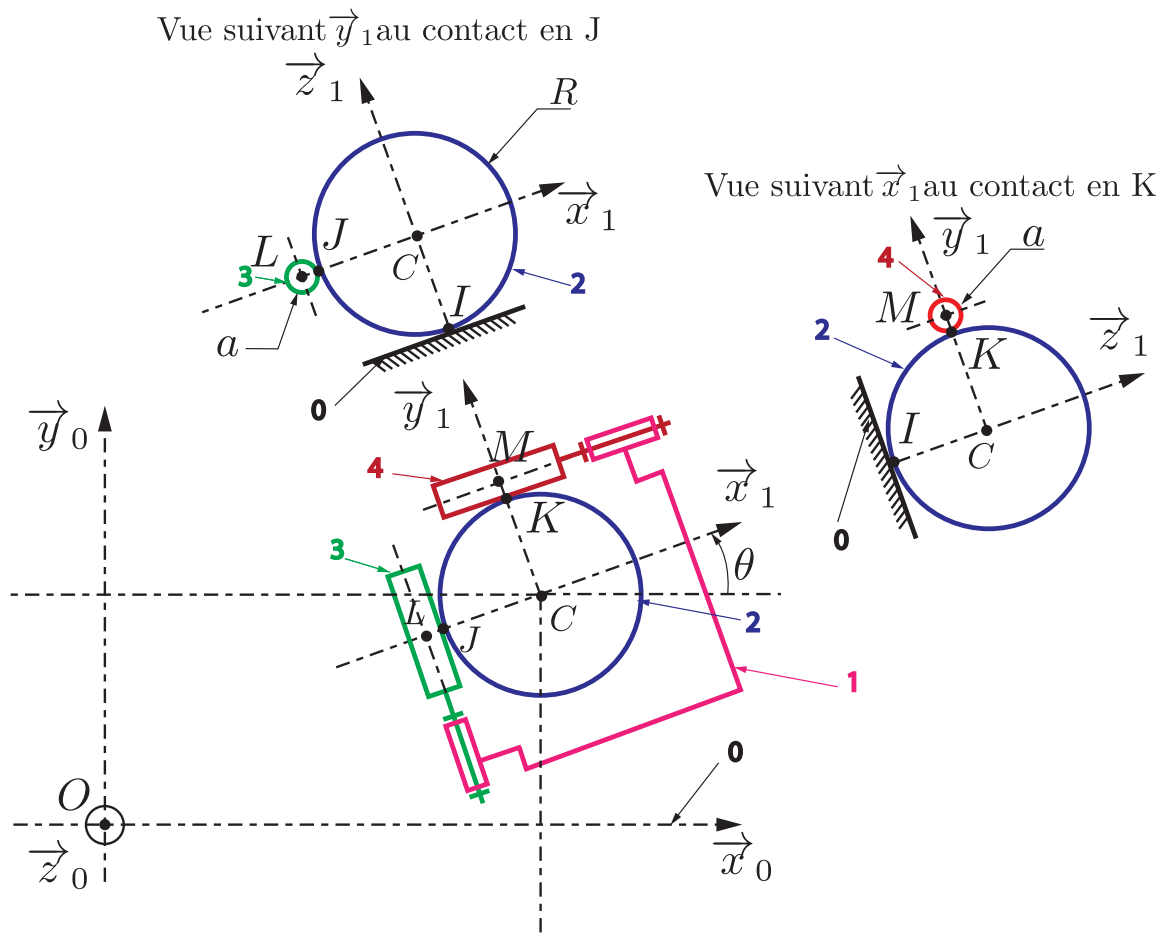


FIGURE 2 – Schéma cinématique mécanique d'une souris de micro-ordinateur.

Les deux galets (3) et (4) commandent chacun un capteur de position angulaire (codeur incrémental). En fonctionnement normal, ils **roulent sans glisser** sur la bille (2), respectivement aux points J et K .

On notera :

- $\overrightarrow{\Omega_{(3/1)}} = \omega_{31} \vec{y}_1$ le vecteur vitesse de rotation (inconnu) de (3) par rapport à (1).
- $\overrightarrow{\Omega_{(4/1)}} = \omega_{41} \vec{x}_1$ le vecteur vitesse de rotation (inconnu) de (4) par rapport à (1).

La souris (1) est animée d'un mouvement plan par rapport à (0).



Objectif :

Le but de cet exercice est de trouver les valeurs de ω_{31} et ω_{41} en fonction du déplacement de la souris.

La condition de contact en I impose que : $\overrightarrow{OC} \cdot \vec{z}_0 = R$.

La position de la souris (1) par rapport à (0) est alors donnée par :

$$\begin{aligned} \overrightarrow{OC} &= x \vec{x}_1 + y \vec{y}_1 + R \vec{z}_1 \\ \theta &= (\vec{x}_0, \vec{x}_1) = (\vec{y}_0, \vec{y}_1) \\ \text{avec } \vec{z}_0 &= \vec{z}_1 \end{aligned}$$

On note le torseur cinématique de la bille (2) par rapport au cadre (1) par :

$$\left\{ \mathcal{V}_{(2/1)} \right\}_C = \left\{ \begin{array}{l} \overrightarrow{\Omega_{(2/1)}} = p \vec{x}_1 + q \vec{y}_1 + r \vec{z}_1 \\ V_{(C \in 2/1)} = \vec{0} \end{array} \right\}$$

(Pour l'instant, p , q et r ne sont pas connus.)

Supposons que l'on bouge la souris (i.e. le cadre (1)) par rapport à (0) par le mouvement plan suivant :

$$\left\{ \mathcal{V}_{(1/0)} \right\}_C = \left\{ \begin{array}{l} \overrightarrow{\Omega_{(1/0)}} = \dot{\theta} \vec{z}_0 \\ \overrightarrow{V_{(C \in 1/0)}} = \dot{x} \vec{x}_1 + \dot{y} \vec{y}_1 \end{array} \right\}$$

2 Modélisation cinématique

a) Modélisation globale de la bille et de la souris

Q 1 : En analysant les torseurs cinématiques donnés précédemment, proposer une liaison permettant de modéliser les mouvements de 1/0 et de 2/0

b) Roulement sans glissement de la bille

Q 2 : Expliciter la condition de roulement sans glissement au point I .

Q 3 : Par composition des vitesses, en déduire la relation liant les paramètres du mouvement de la boule (issus de $\left\{ \mathcal{V}_{(2/1)} \right\}$) à ceux du mouvement de la souris (issu de $\left\{ \mathcal{V}_{(1/0)} \right\}$).

Q 4 : En déduire les composantes p et q du vecteur vitesse de rotation $\overrightarrow{\Omega_{(2/1)}}$, en fonction du mouvement de la souris.

c) Roulement du galet (3)

Q 5 : Expliciter la condition de roulement sans glissement au point J .

Q 6 : En déduire le vecteur vitesse de rotation $\overrightarrow{\Omega_{(3/1)}}$.

Q 7 : En déduire également la valeur de la composante r de $\overrightarrow{\Omega_{(2/1)}}$.

d) Roulement du galet (4)

Q 8 : Expliciter la condition de roulement sans glissement au point K .

Q 9 : En déduire le vecteur vitesse de rotation $\overrightarrow{\Omega_{(4/1)}}$.

e) Mouvement global

Q 10 : Exprimez alors les éléments de réduction des torseurs $\left\{ \mathcal{V}_{(2/1)} \right\}$, $\left\{ \mathcal{V}_{(3/1)} \right\}$ et $\left\{ \mathcal{V}_{(4/1)} \right\}$, respectivement aux points C , L et M , en fonction des composantes de $\left\{ \mathcal{V}_{(1/0)} \right\}$.

Q 11 : De quels types sont ces torseurs ?

Corrigé

Q 1 : En analysant les torseurs cinématiques donnés précédemment, proposer une liaison permettant de modéliser les mouvements de 1/0 et de 2/0

- mouvement de 1/0 : Il s'agit d'une liaison appui-plan de normal $\vec{z}_{0,1}$
- mouvement de 2/0 Il s'agit d'une liaison sphérique de centre C.

Q 2 : Expliciter la condition de roulement sans glissement au point I.

La condition de roulement sans glissement entre (1) et (2) implique qu'au point de contact I :

$$\overrightarrow{V_{(I \in 2/0)}} = \vec{0}$$

Q 3 : Par composition des vitesses, en déduire la relation liant les paramètres du mouvement de la boule (issus de $\{\mathcal{V}_{(2/1)}\}$) à ceux du mouvement de la souris (issu de $\{\mathcal{V}_{(1/0)}\}$).

Par composition des vitesses, on en déduit :

$$\overrightarrow{V_{(I \in 2/0)}} = \overrightarrow{V_{(I \in 2/1)}} + \overrightarrow{V_{(I \in 1/0)}}$$

Or, les paramètres des mouvements sont définis aux points C. On va donc déplacer ces vitesses en C :

$$\begin{aligned} \overrightarrow{V_{(I \in 2/0)}} &= \left(\overrightarrow{V_{(C \in 2/1)}} + \vec{IC} \wedge \overrightarrow{\Omega_{(2/1)}} \right) + \left(\overrightarrow{V_{(C \in 1/0)}} + \vec{IC} \wedge \overrightarrow{\Omega_{(1/0)}} \right) \\ &= \left(\vec{0} + -R\vec{z}_1 \wedge (p\vec{x}_1 + q\vec{y}_1 + z\vec{z}_1) \right) + \left((\dot{x}\vec{x}_1 + \dot{y}\vec{y}_1) + (-R\vec{z}_1 \wedge \dot{\theta}\vec{z}_1) \right) \\ &= qR\vec{x}_1 - pR\vec{y}_1 + \dot{x}\vec{x}_1 + \dot{y}\vec{y}_1 \\ &= (\dot{x} + Rq)\vec{x}_1 + (\dot{y} - pR)\vec{y}_1 \end{aligned}$$

D'après la question précédente, on en déduit que :

$$(\dot{x} + Rq)\vec{x}_1 + (\dot{y} - pR)\vec{y}_1 = \vec{0}$$

Q 4 : En déduire les composantes p et q du vecteur vitesse de rotation $\overrightarrow{\Omega_{(2/1)}}$, en fonction du mouvement de la souris.

On en déduit que :

$$\begin{cases} \dot{x} + Rq = 0 \\ \dot{y} - pR = 0 \end{cases} \Leftrightarrow \begin{cases} q = -\frac{\dot{x}}{R} \\ p = \frac{\dot{y}}{R} \end{cases}$$

Q 5 : Expliciter la condition de roulement sans glissement au point J.

$$\overrightarrow{V_{(J \in 3/2)}} = \vec{0}$$

Q 6 : En déduire le vecteur vitesse de rotation $\overrightarrow{\Omega_{(3/1)}}$.

Comme pour la question précédente, on déduit, par composition des vitesses :

$$\begin{aligned}\overrightarrow{V_{(J \in 3/2)}} &= \overrightarrow{V_{(J \in 3/1)}} - \overrightarrow{V_{(J \in 2/1)}} \\ &= \left(\overrightarrow{V_{(L \in 3/1)}} + \overrightarrow{JL} \wedge \overrightarrow{\Omega_{(3/1)}} \right) - \left(\overrightarrow{V_{(C \in 2/1)}} + \overrightarrow{JC} \wedge \overrightarrow{\Omega_{(2/1)}} \right) \\ &= \left(\vec{0} - a \vec{x}_1 \wedge \omega_{31} \vec{y}_1 \right) - R \vec{x}_1 \wedge (p \vec{x}_1 + q \vec{y}_1 + r \vec{z}_1) \\ &= -a \cdot \omega_{31} \cdot \vec{z}_{0,1} - R \cdot q \cdot \vec{z}_1 + R \cdot r \cdot \vec{y}_1\end{aligned}$$

On déduit de cette équation suivante :

$$\begin{aligned}(-a\omega_{31} - q \cdot R) \vec{z}_1 + r \cdot R \vec{y}_1 &= \vec{0} \\ \Leftrightarrow \begin{cases} -a\omega_{31} - q \cdot R = 0 \\ rR = 0 \end{cases} \\ \Leftrightarrow \begin{cases} \omega_{31} = -\frac{R}{a}q \\ r = 0 \end{cases}\end{aligned}$$

Donc :

$$\boxed{\overrightarrow{\Omega_{(3/1)}} = -\frac{R}{a}q \vec{y}_1}$$

Q 7 : En déduire également la valeur de la composante r de $\overrightarrow{\Omega_{(2/1)}}$.

$$r = 0$$

Q 8 : Expliciter la condition de roulement sans glissement au point K .

$$\overrightarrow{V_{(J \in 4/2)}} = \vec{0}$$

Q 9 : En déduire le vecteur vitesse de rotation $\overrightarrow{\Omega_{(4/1)}}$.

Comme pour la question précédente, on déduit, par composition des vitesses :

$$\begin{aligned}\overrightarrow{V_{(J \in 4/2)}} &= \overrightarrow{V_{(K \in 4/1)}} - \overrightarrow{V_{(K \in 2/1)}} \\ &= \left(\overrightarrow{V_{(M \in 4/1)}} + \overrightarrow{KM} \wedge \overrightarrow{\Omega_{(4/1)}} \right) - \left(\overrightarrow{V_{(C \in 2/1)}} + \overrightarrow{KC} \wedge \overrightarrow{\Omega_{(2/1)}} \right) \\ &= \left(\vec{0} + a \vec{y}_1 \wedge \omega_{41} \vec{x}_1 \right) - \left(\vec{0} - R \vec{y}_1 \wedge (p \vec{x}_1 + q \vec{y}_1) \right) \\ &= -a\omega_{41} \vec{z}_1 - R \cdot p \vec{z}_1\end{aligned}$$

On obtient donc :

$$\boxed{\omega_{41} = -\frac{R}{a}p}$$

Q 10 : Exprimez alors les éléments de réduction des torseurs $\{\mathcal{V}_{(2/1)}\}$, $\{\mathcal{V}_{(3/1)}\}$ et $\{\mathcal{V}_{(4/1)}\}$, respectivement aux points C , L et M , en fonction des composantes de $\{\mathcal{V}_{(1/0)}\}$.

$$\{\mathcal{V}_{(2/1)}\}_C = \begin{Bmatrix} \frac{\dot{y}}{R} \vec{x}_1 - \frac{\dot{x}}{R} \vec{y}_1 \\ \vec{0} \end{Bmatrix}$$

$$\{\mathcal{V}_{(3/1)}\}_L = \begin{Bmatrix} \frac{\dot{x}}{a} \vec{y}_1 \\ \vec{0} \end{Bmatrix}$$

$$\{\mathcal{V}_{(4/1)}\}_M = \begin{Bmatrix} -\frac{\dot{y}}{a} \vec{x}_1 \\ \vec{0} \end{Bmatrix}$$

Q 11 : De quels types sont ces torseurs ?

Ces torseurs sont des glisseurs.